

MAC0337/5900 - Computação Musical

1ª Lista de Exercícios

André Jucovsky Bianchi
3682247 - drebs@linux.ime.usp.br

Santiago Davila
xxxxxxx - kurgan1@gmail.com

Arthur Tofani
yyyyyyy - gramofone@gmail.com

Danilo J. S. Bellini
zzzzzzzz - danilo.bellini@gmail.com

1 de junho de 2009

1 Primeiro Exercício: Série de Fourier

1.a

$$f(t) = \begin{cases} 1, & 0 \leq t < 1 \\ 2, & 1 \leq t < 2 \\ 0, & 2 \leq t < 3 \end{cases} \quad f(t+3) = f(t), \forall t \in \mathbb{R} \quad (1)$$

$f(t)$ pode ser vista na figura 1. Notamos pela definição que o período de f é $T = 3$, e que portando sua velocidade angular é $\omega = \frac{2\pi}{3}$ e portanto $\omega_n = \frac{n2\pi}{3}$.

Primeiro, calculamos F_0 , a primeira parcela da série:

$$\begin{aligned} F_0 &= \frac{1}{T} \int_0^T f(t) e^{-i\omega_0 t} dt = \frac{1}{3} \int_0^3 f(t) dt = \\ &= \frac{1}{3} \left(\int_0^1 f(t) dt + \int_1^2 f(t) dt + \int_2^3 f(t) dt \right) = \\ &= \frac{1}{3} (1 + 2 + 0) = 1 \end{aligned}$$

Em seguida, os termos gerais F_n que dependem do harmônico considerado:

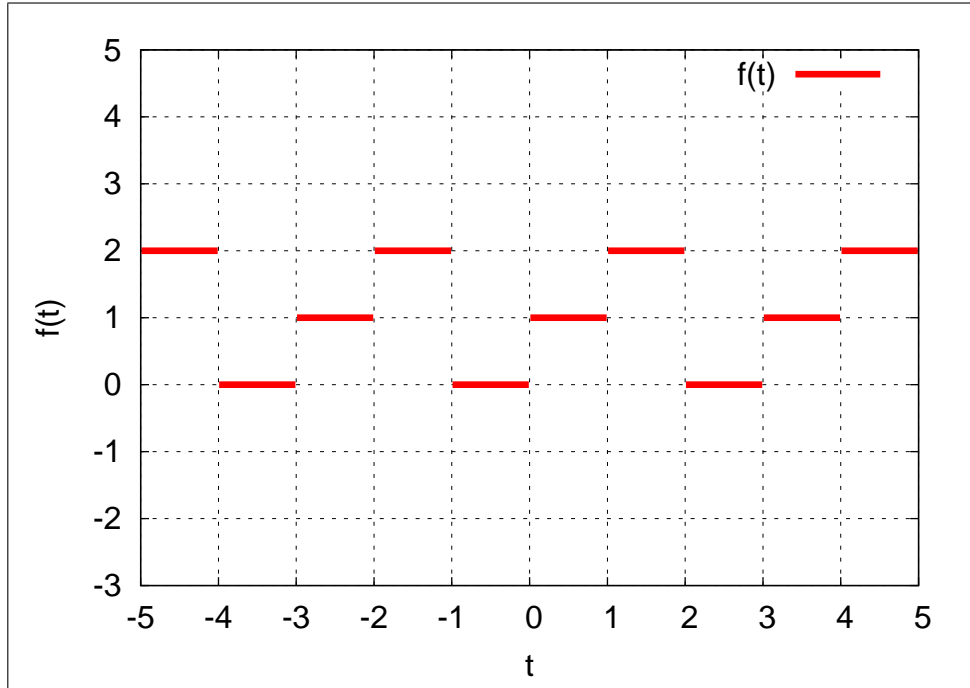


Figura 1: $f(t)$ do exercício 1.a.

$$\begin{aligned}
 F_n &= \frac{1}{T} \int_0^T f(t) e^{-i\omega_n t} dt = \\
 &= \frac{1}{3} \left(\int_0^1 f(t) e^{-i\omega_n t} dt + \int_1^2 f(t) e^{-i\omega_n t} dt + \int_2^3 f(t) e^{-i\omega_n t} dt \right) = \\
 &= \frac{1}{3} \left(\int_0^1 1 e^{-i\omega_n t} dt + \int_1^2 2 e^{-i\omega_n t} dt + \int_2^3 0 e^{-i\omega_n t} dt \right) = \\
 &= \frac{1}{3} \left(\frac{e^{-i\omega_n t}}{-i\omega_n} \Big|_0^1 + 2 \frac{e^{-i\omega_n t}}{-i\omega_n} \Big|_1^2 \right) = \frac{e^{-\frac{2in\pi}{3}} - 2e^{-\frac{4in\pi}{3}} + 1}{2in\pi}
 \end{aligned}$$

Dessa forma, o n -ésimo harmônico fica definido por:

$$\begin{aligned}
 h_n^f(t) &= F_n e^{i\omega_n t} + F_{-n} e^{i\omega_{-n} t} = F_n e^{i\omega_n t} + F_n^* e^{-i\omega_n t} = \\
 &= \left(\frac{e^{-\frac{2in\pi}{3}} - 2e^{-\frac{4in\pi}{3}} + 1}{in2\pi} \right) e^{\frac{in2\pi t}{3}} + \left(\frac{e^{\frac{2in\pi}{3}} - 2e^{\frac{4in\pi}{3}} + 1}{-in2\pi} \right) e^{-\frac{in2\pi t}{3}}
 \end{aligned}$$

E $f(t)$ pode ser escrita como uma soma infinita de todos os harmônicos:

$$f(t) = 1 + \sum_{n \geq 1} \left[\left(\frac{e^{-\frac{2in\pi}{3}} - 2e^{-\frac{4in\pi}{3}} + 1}{in2\pi} \right) e^{\frac{in2\pi t}{3}} + \left(\frac{e^{\frac{2in\pi}{3}} - 2e^{\frac{4in\pi}{3}} + 1}{-in2\pi} \right) e^{-\frac{in2\pi t}{3}} \right] \quad (2)$$

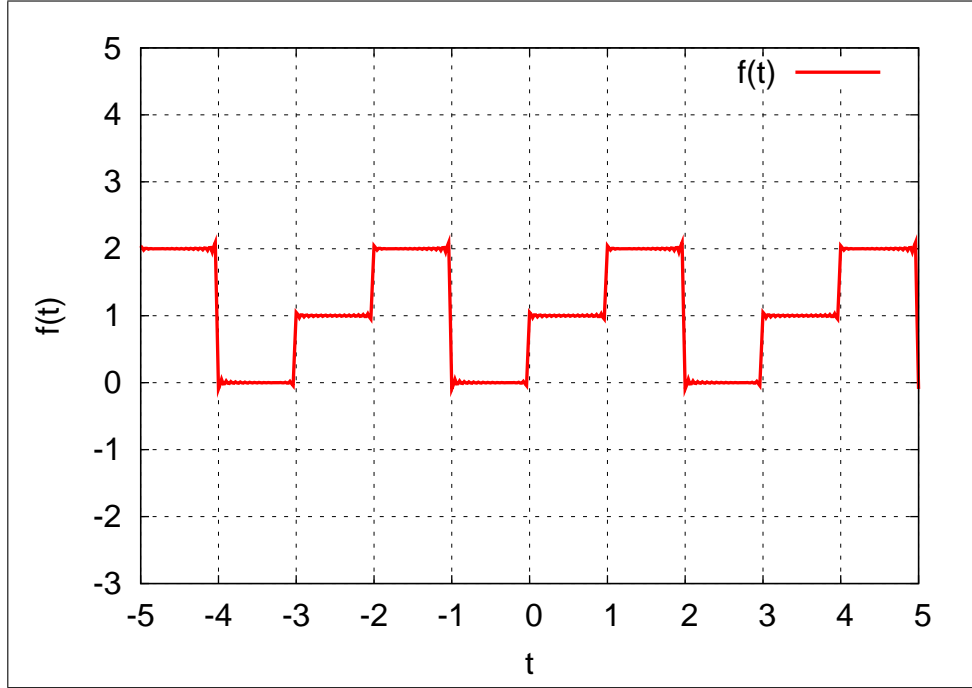


Figura 2: $f(t)$ do exercício 1.a calculada com 100 harmônicos através do cálculo da Série de Fourier.

O resultado do cálculo de $f(t)$ pela fórmula (2) com 100 harmônicos pode ser visto na figura 2.

1.b

$$g(t) = \begin{cases} \text{sen}(\pi t), & 0 \leq t < 1 \\ 2 - t, & 1 \leq t < 3 \end{cases} \quad g(t+3) = g(t), \forall t \in \mathbb{R} \quad (3)$$

$g(t)$ pode ser vista na figura 3. Notamos pela definição que o período de f é $T = 3$, e que portanto sua velocidade angular é $\omega = \frac{2\pi}{3}$ e portanto $\omega_n = \frac{n2\pi}{3}$.

Primeiro, calculamos G_0 , a primeira parcela da série:

$$\begin{aligned} G_0 &= \frac{1}{T} \int_0^T g(t) e^{-i\omega_0 t} dt = \frac{1}{3} \int_0^3 g(t) dt = \\ &= \frac{1}{3} \left(\int_0^1 g(t) dt + \int_1^3 g(t) dt \right) = \frac{1}{3} \left(\int_0^1 \text{sen}(\pi t) dt + \int_1^3 (2-t) dt \right) = \\ &= \frac{1}{3} \left(\left. \frac{-\cos(\pi t)}{\pi} \right|_0^1 + \left(2t - \frac{t^2}{2} \right) \Big|_1^3 \right) = \frac{2}{3\pi} \end{aligned}$$

Em seguida, os termos gerais G_n que dependem do harmônico considerado:

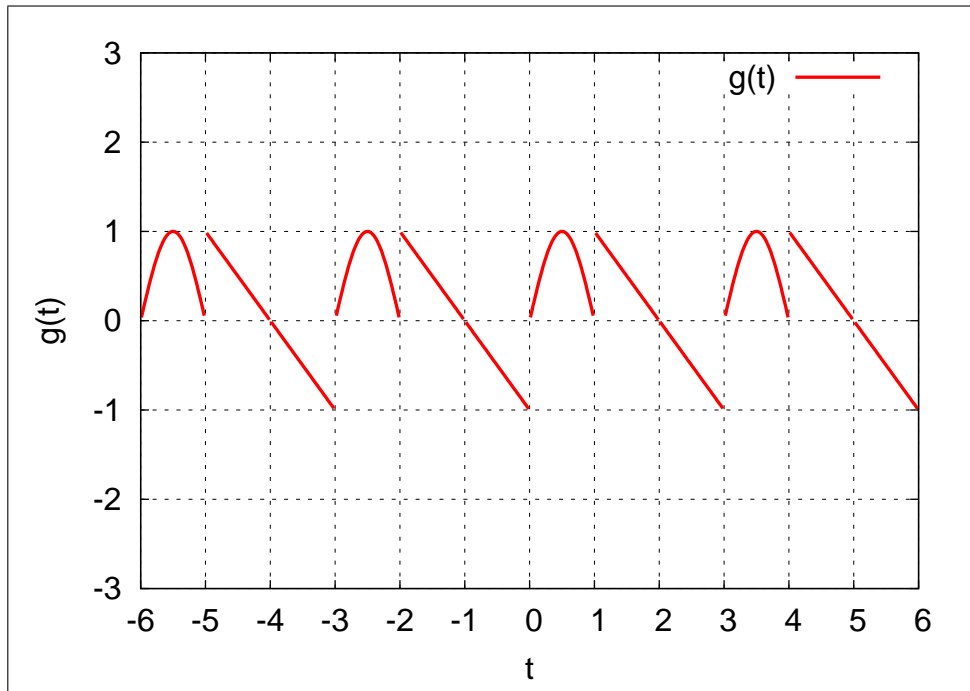


Figura 3: $g(t)$ do exercício 1.b.

$$\begin{aligned}
 G_n &= \frac{1}{T} \int_0^T g(t) e^{-i\omega_n t} dt = \\
 &= \frac{1}{3} \left(\int_0^1 g(t) e^{-i\omega_n t} dt + \int_1^3 g(t) e^{-i\omega_n t} dt \right) = \\
 &= \frac{1}{3} \left(\int_0^1 \sin(\pi t) e^{-i\omega_n t} dt + \int_1^3 (2-t) e^{-i\omega_n t} dt \right) =
 \end{aligned}$$

Agora, sabemos que

$$\begin{aligned}
 \int \sin(\pi t) e^{-i\omega_n t} dt &= \int \sin(\pi t) (\cos(\omega_n t) - i \sin(\omega_n t)) dt = \\
 &= \int \sin(\pi t) \cos(\omega_n t) dt - i \int \sin(\pi t) \sin(\omega_n t) dt
 \end{aligned}$$

Podemos então calcular as duas integrais separadas, e as contas em anexo mostram que:

$$\int_0^1 \sin(\pi t) e^{-i\omega_n t} dt = 3 \left(\frac{1 - e^{i(\pi - \frac{n2\pi}{3})}}{6\pi - n4\pi} + \frac{1 - e^{-i(\pi + \frac{n2\pi}{3})}}{6\pi + n4\pi} \right)$$

E também que:

$$\int_1^3 (2-t) e^{-i\omega_n t} dt = 3 \left(\frac{-e^{-in2\pi} - e^{-\frac{in2\pi}{3}}}{-in2\pi} - 3 \frac{e^{-in2\pi} + e^{-\frac{in2\pi}{3}}}{4n^2\pi^2} \right)$$

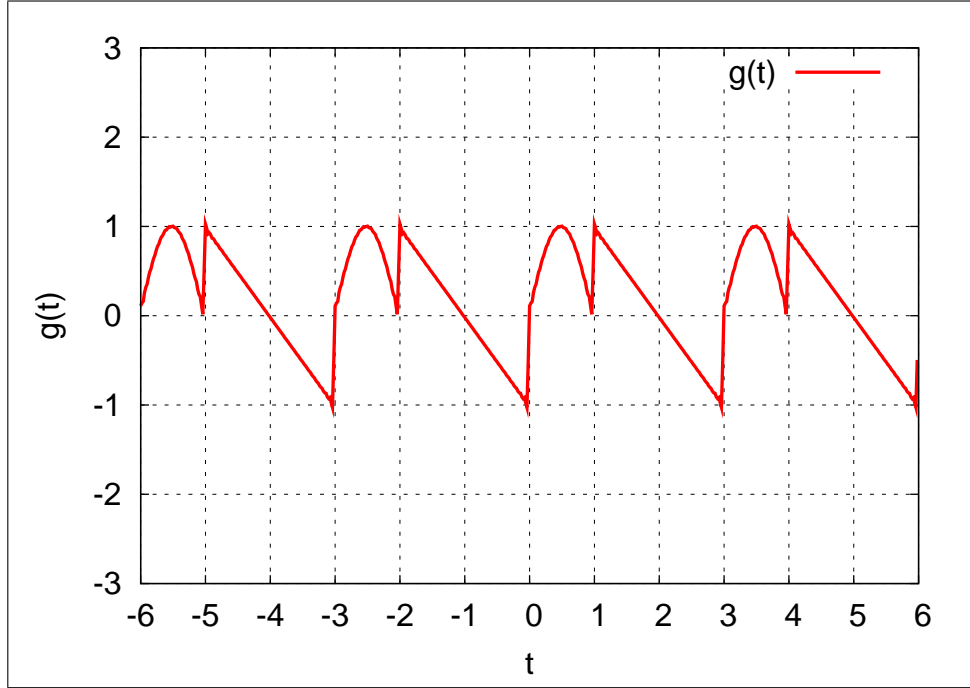


Figura 4: $g(t)$ do exercício 1.b calculada com 100 harmônicos através do cálculo da Série de Fourier.

Assim, o n -ésimo harmônico fica definido por:

$$\begin{aligned}
 h_n^g(t) &= G_n e^{i\omega_n t} + G_{-n} e^{i\omega_{-n} t} = G_n e^{i\omega_n t} + G_n^* e^{-i\omega_{-n} t} = \\
 &= \left[\frac{1 - e^{i(\pi - \frac{n2\pi}{3})}}{6\pi - n4\pi} + \frac{1 - e^{-i(\pi + \frac{n2\pi}{3})}}{6\pi + n4\pi} + \frac{-e^{-in2\pi} - e^{\frac{-in2\pi}{3}}}{-in2\pi} - 3 \frac{-e^{-in2\pi} + e^{\frac{-in2\pi}{3}}}{4n^2\pi^2} \right] e^{\frac{in2\pi t}{3}} + \\
 &+ \left[\frac{1 - e^{-i(\pi - \frac{n2\pi}{3})}}{6\pi - n4\pi} + \frac{1 - e^{i(\pi + \frac{n2\pi}{3})}}{6\pi + n4\pi} + \frac{-e^{in2\pi} - e^{\frac{in2\pi}{3}}}{-in2\pi} - 3 \frac{-e^{in2\pi} + e^{\frac{in2\pi}{3}}}{4n^2\pi^2} \right] e^{\frac{-in2\pi t}{3}}
 \end{aligned}$$

E $g(t)$ pode ser escrita como uma soma infinita de todos os harmônicos:

$$g(t) = 1 + \sum_{n \geq 1} h_n(t) \quad (4)$$

O resultado do cálculo de $g(t)$ pela fórmula (4) com 100 harmônicos pode ser visto na figura 4.

1.c

$$h(t) = 3\cos(5t) + 2\sin(8t) \quad h(t+3) = h(t), \forall t \in \mathbb{R}$$

$h(t)$ pode ser vista na figura 5. Podemos encontrar seu período (e velocidade angular) calculando o mínimo múltiplo comum dos períodos em graus dos somandos da expressão:

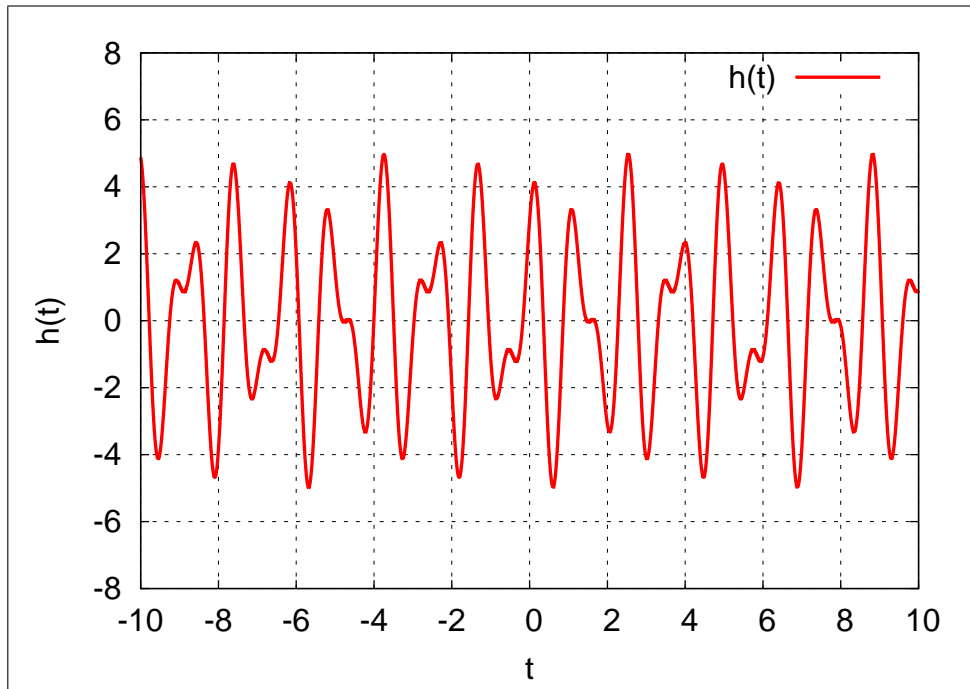


Figura 5: $h(t)$ do exercício 1.c.

$$\begin{aligned}
 \omega_{3\cos(5t)} &= 5 \Rightarrow T_{3\cos(5t)} = \frac{2\pi}{5} = 72^\circ \\
 \omega_{2\sin(8t)} &= 8 \Rightarrow T_{2\sin(8t)} = \frac{2\pi}{8} = 45^\circ \\
 mmc(72, 45) &= 360 \Rightarrow T_h = 2\pi \Rightarrow \omega_n = n
 \end{aligned}$$

Primeiro, calculamos H_0 , a primeira parcela da série:

$$\begin{aligned}
 H_0 &= \frac{1}{T} \int_0^T h(t) e^{-i\omega_0 t} dt = \frac{1}{2\pi} \int_0^{2\pi} 3\cos(5t) + 2\sin(8t) dt = \\
 &= \frac{1}{2\pi} \left(3 \int_0^{2\pi} \cos(5t) dt + 2 \int_0^{2\pi} \sin(8t) dt \right) = \\
 &= \frac{1}{2\pi} \left(\frac{3\sin(5t)}{5} \Big|_0^{2\pi} + \frac{-2\cos(8t)}{8} \Big|_0^{2\pi} \right) = 0
 \end{aligned}$$

Em seguida, os termos gerais H_n que dependem do harmônico considerado:

$$\begin{aligned}
H_n &= \frac{1}{T} \int_0^T h(t) e^{-i\omega_n t} dt = \\
&= \frac{1}{2\pi} \int_0^{2\pi} (3\cos(5t) + 2\sin(8t)) e^{-i\omega_n t} dt = \\
&= \frac{1}{2\pi} \left(3 \int_0^{2\pi} \cos(5t) e^{-i\omega_n t} dt + 2 \int_0^{2\pi} \sin(8t) e^{-i\omega_n t} dt \right) = \\
&= \frac{1}{2\pi} \left(3 \int_0^{2\pi} \cos(5t) \cos(nt) dt + 2 \int_0^{2\pi} \sin(8t) \cos(nt) dt - \right. \\
&\quad \left. - 3i \int_0^{2\pi} \cos(5t) \sin(nt) dt - 2i \int_0^{2\pi} \sin(8t) \sin(nt) dt \right)
\end{aligned}$$

Dos resultados vistos em aula, temos que:

$$\begin{aligned}
3 \int_0^{2\pi} \cos(5t) \cos(nt) dt &= \begin{cases} 0, & n \neq 5 \\ 3\pi, & n = 5 \end{cases} \\
2 \int_0^{2\pi} \sin(8t) \cos(nt) dt &= 0, \forall n \\
-3i \int_0^{2\pi} \cos(5t) \sin(nt) dt &= 0, \forall n \\
-2i \int_0^{2\pi} \sin(8t) \sin(nt) dt &= \begin{cases} 0, & n \neq 8 \\ -2i\pi, & n = 8 \end{cases}
\end{aligned}$$

Assim, o n -ésimo harmônico fica definido por:

$$h_n^h(t) = H_n e^{i\omega_n t} + H_{-n} e^{i\omega_{-n} t} = H_n e^{i\omega_n t} + H_n^* e^{-i\omega_n t}$$

Como H_n só está definida para $n = 5$ e $n = 8$, $h(n)$ pode ser escrita como soma de apenas quatro parcelas:

$$\begin{aligned}
h(t) &= H_5 e^{i\omega_5 t} + H_5^* e^{-i\omega_5 t} + H_8 e^{i\omega_8 t} + H_8^* e^{-i\omega_8 t} = \\
&= \frac{3}{2} e^{i5t} + \frac{3}{2} e^{-i5t} - i e^{i8t} + i e^{-i8t}
\end{aligned} \tag{5}$$

O resultado do cálculo de $h(t)$ pela fórmula (5), com apenas as duas componentes harmônicas, pode ser visto na figura 6.

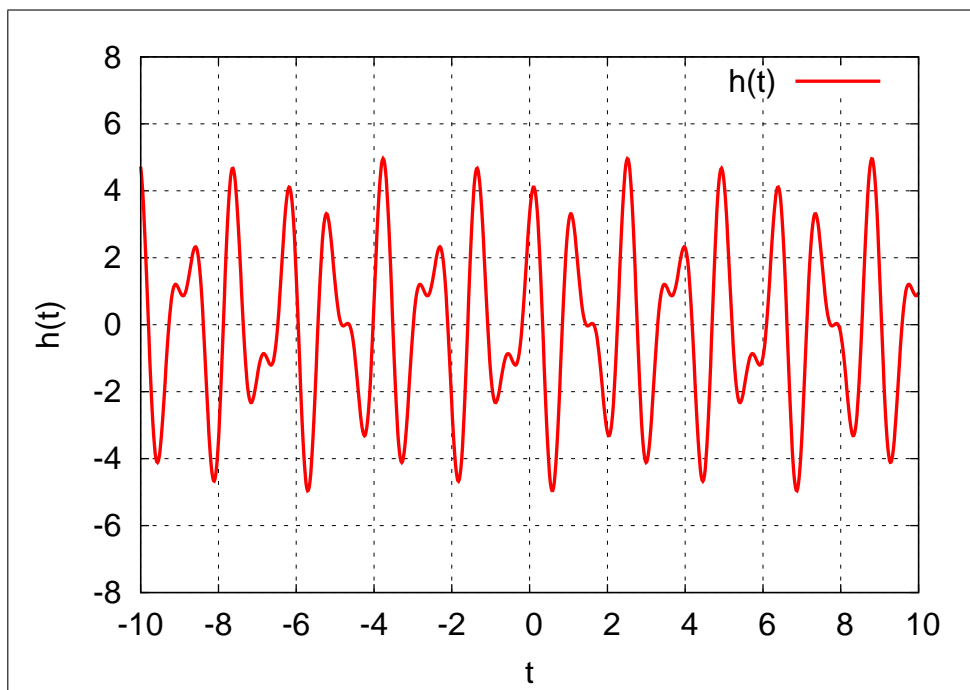


Figura 6: $h(t)$ do exercício 1.c calculada com as duas componentes da transformada de Fourier.

2 Segundo Exercício:

2.a

2.b

2.c

3 Terceiro Exercício:

3.a

3.b

3.c

4 Quarto Exercício: Polos e Zeros

4.a

Podemos escrever a função de transferência $H(z)$ associada ao filtro $y(n)$ como quociente de produtos que envolvem os valores dos zeros e dos pólos do filtro:

$$\begin{aligned}
H(z) &= a_0 \frac{\prod_{i=1}^M (1 - Z_i z^{-1})}{\prod_{i=1}^N (1 - P_i z^{-1})} = \frac{a_0(1 - Z_1 z^{-1})(1 - Z_2 z^{-1})}{(1 - P_1 z^{-1})(1 - P_2 z^{-1})} = \\
&= \frac{a_0(1 + \sqrt{A}z^{-1})(1 - \sqrt{A}z^{-1})}{(1 - Ae^{i\theta}z^{-1})(1 - Ae^{-i\theta}z^{-1})} = \frac{a_0(1 - Az^{-2})}{1 - Ae^{i\theta}z^{-1} - Ae^{-i\theta}z^{-1} + A^2e^{i\theta - i\theta}z^{-2}} = \\
&= \frac{a_0(1 - Az^{-2})}{1 - A(e^{i\theta} + e^{-i\theta})z^{-1} + A^2z^{-2}} = \frac{a_0(1 - Az^{-2})}{1 - 2A\cos(\theta)z^{-1} + A^2z^{-2}} = \\
&= \frac{\sum_{k=0}^M a_k z^{-k}}{1 + \sum_{k=1}^N b_k z^{-k}} = \frac{N(z)}{D(z)}
\end{aligned}$$

Na relação acima, os coeficientes de $N(z)$ e $D(z)$ são, respectivamente, os coeficientes a_i e b_i do filtro $y(n)$. Se supusermos $a_0 = 1$, por conveniência nos cálculos, teremos:

$$\begin{aligned}
N(z) &= 1 - Az^{-2} & \Rightarrow & a_1 = 0, \quad a_2 = -A \\
D(z) &= 1 - 2A\cos(\theta)z^{-1} + A^2z^{-2} & \Rightarrow & b_1 = -2A\cos(\theta), \quad b_2 = A^2
\end{aligned}$$

E portanto, a equação do filtro fica:

$$y(n) = x(n) - Ax(n-2) - 2A\cos(\theta)y(n-1) + A^2y(n-2) \quad (6)$$

4.b

Para encontrar o ganho de um filtro em uma certa frequência ω , basta calcular a magnitude da equação de transferência do filtro nesta frequência, ou seja, medir $H(e^{i\omega})$. Ao substituir z na equação por $e^{i\omega}$, teremos termos da forma $e^{-i\omega k}$, onde ω representará uma frequência em radianos/amostra.

Dada uma frequência f em Hertz (ciclos/segundo) e um valor R da taxa de amostragem da entrada em amostras/segundo, podemos representá-la como $2\pi f$ radianos/segundo, ou $\frac{2\pi f}{R}$ radianos/amostra. Dessa forma, uma frequência f dentro da taxa de Nyquist será mapeada em uma frequência $\omega = \frac{2\pi f}{R}$ entre $-\pi$ e π . Então, supondo que o sinal de entrada tenha passado por um filtro passa-baixo e que portanto não possui frequências maiores que a taxa de Nyquist, definimos $G(f) : [\frac{-R}{2}, \frac{R}{2}] \rightarrow \mathbb{R}^{\geq 0}$ com $G(f) = |H(e^{\frac{i2\pi f}{R}})|$. Daí, temos:

$$\begin{aligned}
G(f) &= |H(e^{i\omega})| = \left| \frac{(1 + \sqrt{A}e^{-i\omega})(1 - \sqrt{A}e^{-i\omega})}{(1 - Ae^{i\theta}e^{-i\omega})(1 - Ae^{-i\theta}e^{-i\omega})} \right| = \\
&= \frac{|(1 + \sqrt{A}e^{-i\omega})| |(1 - \sqrt{A}e^{-i\omega})|}{|(1 - Ae^{i\theta}e^{-i\omega})| |(1 - Ae^{-i\theta}e^{-i\omega})|} = \frac{|H_1(e^{i\omega})| |H_2(e^{i\omega})|}{|H_3(e^{i\omega})| |H_4(e^{i\omega})|}
\end{aligned}$$

Podemos calcular cada termo separadamente:

$$\begin{aligned}
|H_1(e^{i\omega})| &= \left| (1 + \sqrt{A}\cos(\omega) - i\sqrt{A}\sin(\omega)) \right| = \\
&= \sqrt{(1 + \sqrt{A}\cos(\omega))^2 + (-\sqrt{A}\sin(\omega))^2} = \\
&= \sqrt{1 + 2\sqrt{A}\cos(\omega) + A} \\
|H_2(e^{i\omega})| &= \left| (1 - \sqrt{A}\cos(\omega) + i\sqrt{A}\sin(\omega)) \right| = \\
&= \sqrt{(1 - \sqrt{A}\cos(\omega))^2 + (\sqrt{A}\sin(\omega))^2} = \\
&= \sqrt{1 - 2\sqrt{A}\cos(\omega) + A} \\
|H_3(e^{i\omega})| &= \left| (1 - A\cos(\theta - \omega) + iA\sin(\theta - \omega)) \right| = \\
&= \sqrt{(1 - A\cos(\theta - \omega))^2 + (A\sin(\theta - \omega))^2} = \\
&= \sqrt{1 - 2A\cos(\theta - \omega) + A^2} \\
|H_4(e^{i\omega})| &= \left| (1 - A\cos(\theta + \omega) + iA\sin(\theta + \omega)) \right| = \\
&= \sqrt{(1 - A\cos(\theta + \omega))^2 + (A\sin(\theta + \omega))^2} = \\
&= \sqrt{1 - 2A\cos(\theta + \omega) + A^2}
\end{aligned}$$

E finalmente substituir $\omega = \frac{2\pi f}{R}$, para obter a expressão final:

$$G(f) = \left| H(e^{i\frac{2\pi f}{R}}) \right| = \frac{\sqrt{1+2\sqrt{A}\cos(\frac{2\pi f}{R})+A}\sqrt{1-2\sqrt{A}\cos(\frac{2\pi f}{R})+A}}{\sqrt{1-2A\cos(\theta-\frac{2\pi f}{R})+A^2}\sqrt{1-2A\cos(\theta+\frac{2\pi f}{R})+A^2}} \quad (7)$$

4.c

$$\begin{aligned}
G\left(\frac{R\theta}{2\pi}\right) &= |H(e^{i\theta})| = \frac{\sqrt{1+2\sqrt{A}\cos(\theta)+A}\sqrt{1-2\sqrt{A}\cos(\theta)+A}}{\sqrt{1-2A\cos(\theta-\theta)+A^2}\sqrt{1-2A\cos(\theta+\theta)+A^2}} \\
&= \frac{\sqrt{1+2\sqrt{A}\cos(\theta)+A-2\sqrt{A}\cos^2(\theta)-4A\cos^2(\theta)-2\sqrt{A}\cos(\theta)+A+2A\sqrt{A}\cos(\theta)+A^2}}{\sqrt{1-2A+A^2}\sqrt{1-2A(\cos^2(\theta)-\sin^2(\theta)+A^2)}} = \\
&= \frac{\sqrt{1-4A\cos^2(\theta)+2A+A^2}}{\sqrt{(1-A)^2\sqrt{1-4A\cos^2(\theta)+2A+A^2}}} = \frac{1}{1-A}
\end{aligned}$$

$$\begin{aligned}
G(0) &= |H(e^{i0})| = \frac{\sqrt{1+2\sqrt{A}\cos(0)+A}\sqrt{1-2\sqrt{A}\cos(0)+A}}{\sqrt{1-2A\cos(\theta-0)+A^2}\sqrt{1-2A\cos(\theta+0)+A^2}} \\
&= \frac{\sqrt{1+2\sqrt{A}+A}\sqrt{1-2\sqrt{A}+A}}{\sqrt{1-2A\cos(\theta)+A^2}\sqrt{1-2A\cos(\theta)+A^2}} \\
&= \frac{\sqrt{1-2A+A^2}}{1-2A\cos(\theta)+A^2} = \frac{(1-A)}{1-2A\cos(\theta)+A^2}
\end{aligned}$$

$$\begin{aligned}
G\left(\frac{R}{2}\right) &= |H(e^{i\pi})| = \frac{\sqrt{1+2\sqrt{A}\cos(\pi)+A}\sqrt{1-2\sqrt{A}\cos(\pi)+A}}{\sqrt{1-2A\cos(\theta-\pi)+A^2}\sqrt{1-2A\cos(\theta+\pi)+A^2}} \\
&= \frac{\sqrt{1-2\sqrt{A}+A}\sqrt{1+2\sqrt{A}+A}}{\sqrt{1-2A\cos(\theta-\pi)+A^2}\sqrt{1-2A\cos(\theta+\pi)+A^2}} = \\
&= \frac{1-A}{1-2A\cos(\theta+\pi)+A^2}
\end{aligned}$$

Se $\theta = \frac{\pi}{2}$:

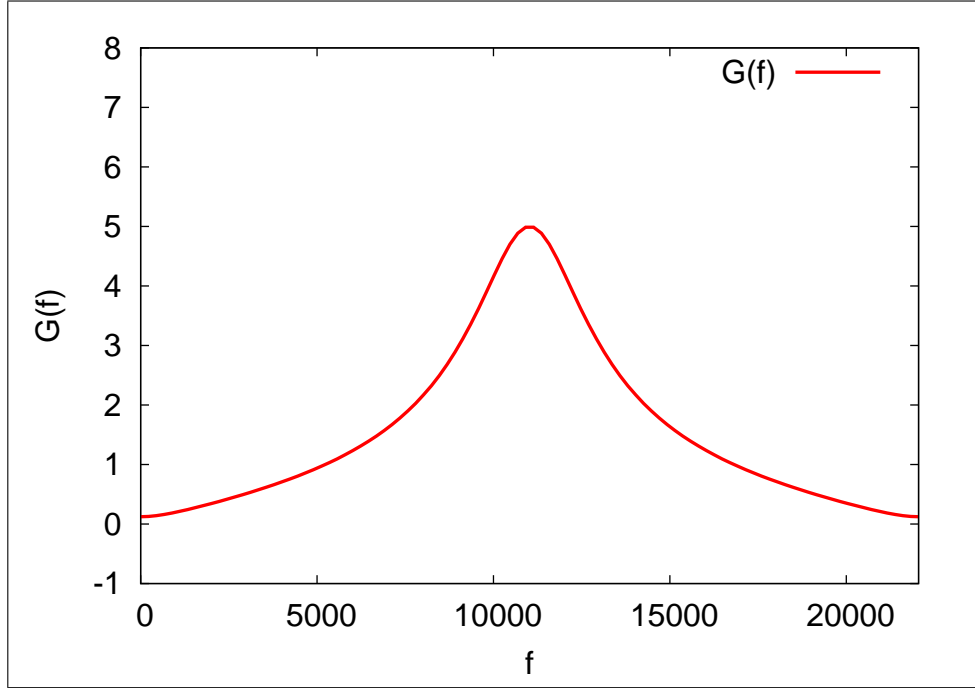


Figura 7: $G(f)$ com $\theta = \frac{\pi}{2}$, $A = 0,8$ e $R = 44100\text{Hz}$.

$$G(0) = \frac{(1-A)}{1-2A\cos(\frac{\pi}{2})+A^2} = \frac{1-A}{1+A^2}$$

$$G(\frac{R}{2}) = \frac{1-A}{1-2A\cos(\frac{3\pi}{2})+A^2} = \frac{1-A}{1+A^2}$$

O gráfico de $G(f)$ com $\theta = \frac{\pi}{2}$ pode ser visto na figura 7. Podemos notar a influência simétrica em $f = \frac{44100}{2} = 22050\text{Hz}$.

4.d

Os gráficos de $G(f)$ no intervalo $[\frac{-R}{2}, \frac{R}{2}]$ com $\theta = \frac{\pi}{4}$ e $\theta = \frac{3\pi}{4}$ podem ser vistos nas figuras 8 e 9, respectivamente. Podemos notar em cada figura como a proximidade dos pólos dos pontos do círculo unitário com ângulo $\frac{\pm\pi}{4}$ e $\frac{\pm3\pi}{4}$ influenciam as frequências próximas de $\frac{R}{8} = 5012,5$ e $\frac{3R}{8} = 1537,5$.

Finalmente, se normalizamos a função de transferência por um fator de $(1 - A)$, teremos:

$$\begin{aligned} H(z) &= \frac{(1-A)(1-Az^{-2})}{1-2A\cos(\theta)z^{-1}+A^2z^{-2}} = \frac{1-Az^{-2}-A+A^2z^{-2}}{1-2A\cos(\theta)z^{-1}+A^2z^{-2}} = \\ &= \frac{(1-A)+(A^2-A)z^{-2}}{1-2A\cos(\theta)z^{-1}+A^2z^{-2}} \Rightarrow \begin{aligned} a_0 &= (1-A), & a_2 &= (A^2-A) \\ b_1 &= -2A\cos(\theta), & b_2 &= A^2 \end{aligned} \end{aligned}$$

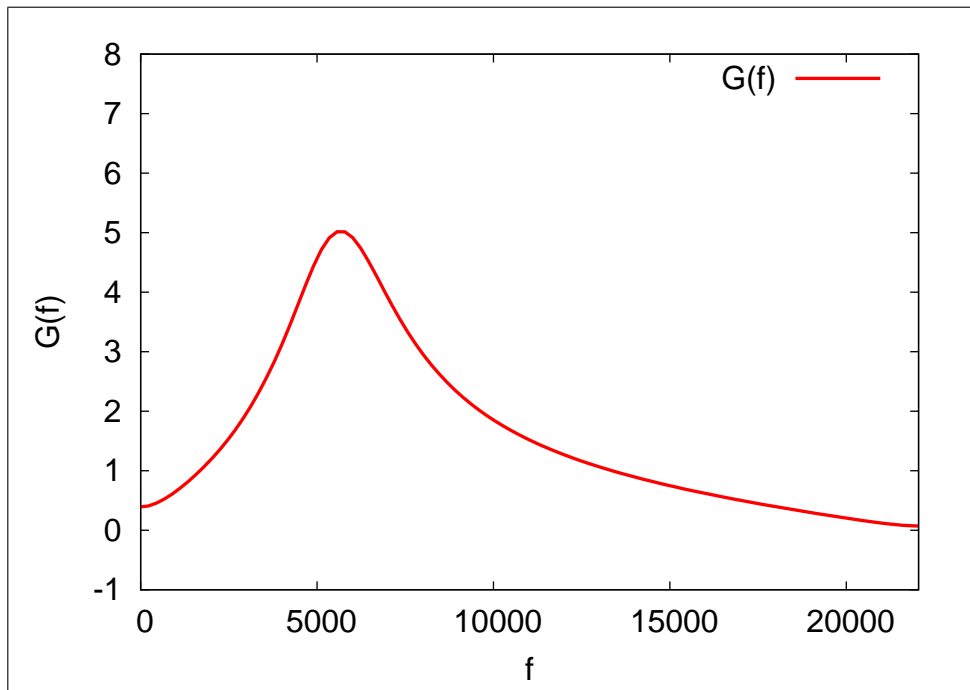


Figura 8: $G(f)$ com $\theta = \frac{\pi}{4}$, $A = 0,8$ e $R = 44100\text{Hz}$.

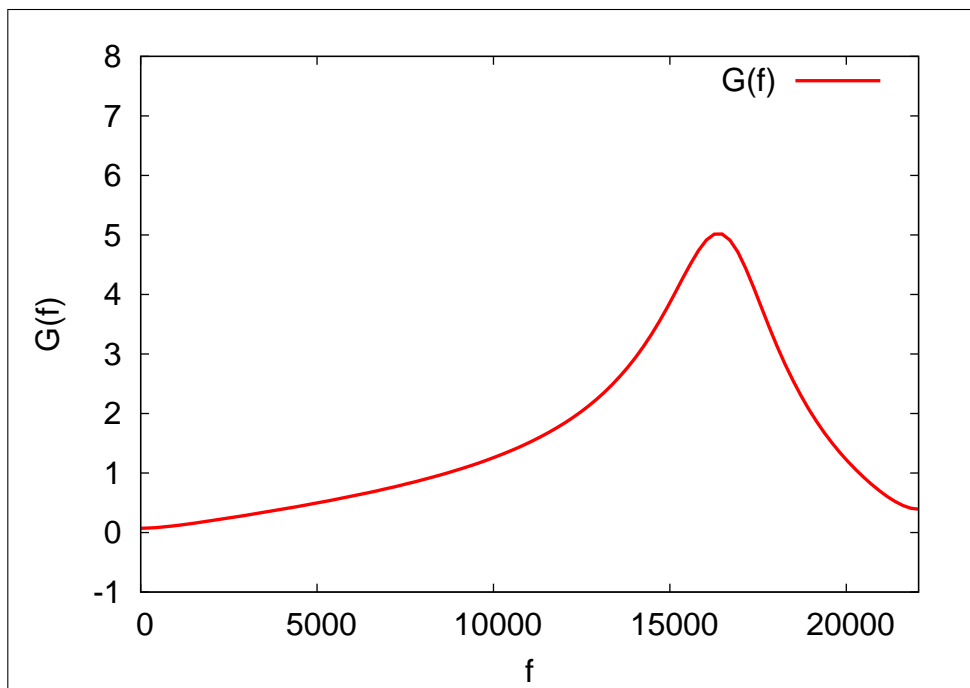


Figura 9: $G(f)$ com $\theta = \frac{3\pi}{4}$, $A = 0,8$ e $R = 44100\text{Hz}$.

E o filtro normalizado, será dado por:

$$y(n) = (1 - A)x(n) - (A^2 - A)x(n - 2) - 2A\cos(\theta)y(n - 1) + A^2y(n - 2) \quad (8)$$